

三维球方势阱和口袋模型

段明阳¹, 刘子鸣², 刘玉鑫*

摘要

口袋模型是一种用来解释强子内部结构及核力的模型。在夸克的强相互作用被发现之后, 物理学家提出了QCD等各种理论来解释它。我们这里先简要介绍夸克以及QCD量子色动力学的背景知识, 然后考虑根据三维球方势阱提出的几种口袋模型, 及其简单的应用。

关键词

夸克 QCD量子色动力学 三维球方势阱 口袋模型

¹北京大学物理学院, 1600011311

²北京大学物理学院, 1600011313

*通讯作者: yxliu@pku.edu.cn

1. 背景知识

自然界中存在四种基本相互作用: 引力, 电磁相互作用, 强相互作用, 弱相互作用。万有引力作用在所有有质量的粒子之间, 由引力子传递(目前尚未发现)。电磁相互作用作用在所有带电粒子之间, 由光子传递, 我们生活中常见的力都是电磁相互作用。强相互作用作用在夸克和胶子之间, 由胶子传递。弱相互作用作用在轻子上, 由介子传递。





				
	Gravity	Weak	Electromagnetic	Strong
Carried By	Graviton (not yet observed)	$W^+ W^- Z^0$	Photon	Gluon
Acts on	All	Quarks and Leptons	Quarks and Charged Leptons and $W^+ W^-$	Quarks and Gluons

图 1. 四种基本相互作用

夸克是一种很微小的物质, 它的各种特性让它能够参与四种相互作用。[7]夸克是费米子, 很轻。第一代夸克——上夸克和下夸克, 质量分别为 $m_u = (2.3 \pm 1.2)\text{MeV}/c^2$, $m_d = (4.8 \pm 0.8)\text{MeV}/c^2$ 。首先它有质量(mass), 因此参与引力作用。其次它具有电荷(electric charge), 因此能参与电磁相互作用。上夸克u、下夸克d分别带电 $+2/3 e$ 、 $-1/3 e$ 。质子由uud组成, 电荷量为 $+1e$, 中子由udd组成, 为电中性。而且夸克具有“味”(flavor), 能参与弱相互作用。夸克总共有六种味, 其中刚才提到的上u、下d就是夸克的味。同时夸克还具有色荷(color charge), 能参与强相互作用。每个夸克可以有rgb即红绿蓝三种色荷。色荷的命名对应于颜色, 是因为

三种色荷相互抵消类似红绿蓝三原色的抵消(变成白色), 实际上这些色荷本身并不是红色或绿色或蓝色的。

夸克有: 质量, “味”, 电荷, 色荷——rgb红绿蓝(如图)。

Generations of matter			
Type	First	Second	Third
Quarks			
up-type	up	charm	top
down-type	down	strange	bottom

图 2. 夸克的族谱

胶子是构成强子(如质子, 中子和 π 介子)的一种基本粒子。[7]胶子是量子色动力学中传递力的粒子, 就像光子是电动力学中传递力的粒子一样。但和光子不同的是, 胶子有色荷, 且胶子是通过改变夸克的色荷来传递相互作用的。

我们在两个尺度上可以观察到“两种不同的”强相互作用: 在稍大的尺度上($1\text{fm} \sim 3\text{fm}$), 介子把质子和中子结合起来构成原子核。在稍小的尺度下($< 0.8\text{fm}$), 胶子把夸克结合起来构成强子——比如质子, 中子, 介子。

胶子的族谱——八种胶子:

$$\begin{aligned} & (r\bar{b} + b\bar{r})/\sqrt{2} \quad -i(r\bar{b} - b\bar{r})/\sqrt{2} \\ & (r\bar{g} + g\bar{r})/\sqrt{2} \quad -i(r\bar{g} - g\bar{r})/\sqrt{2} \\ & (b\bar{g} + g\bar{b})/\sqrt{2} \quad -i(b\bar{g} - g\bar{b})/\sqrt{2} \\ & (r\bar{r} - b\bar{b})/\sqrt{2} \quad (r\bar{r} + b\bar{b} - 2g\bar{g})/\sqrt{6} \end{aligned}$$

注意胶子总共有8种而不是 $3^2 = 9$ 种。因为不允许出现所谓的“单态”, 如red-antired, green-antigreen, blue-antiblue。更深层的原因是,

QCD量子色动力学是具有SU(3)对称性的规范理论，SU(N)的自伴表示的维数是 $N^2 - 1$ 。所以这里胶子的种数是 $3^2 - 1 = 8$ 。

由于强相互作用是通过胶子传递的，胶子携带色荷，所以胶子之间的强相互作用也应该是通过胶子传递的，这样在胶子之间就会产生新的胶子，然后再产生新的胶子，依此类推直到无穷（如图）。这需要一个新的理论来修正这个问题。

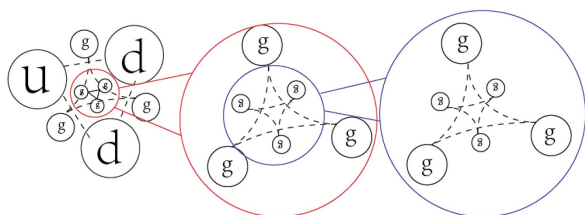


图 3. 胶子产生新的胶子

QCD量子色动力学是夸克和胶子之间强相互作用的理论。把它和量子电动力学进行对比：量子电动力学作用在电荷上，传递者为光子，光子携带电荷，没有静质量，自旋为1（玻色子）。量子电动力学作用在电荷上，传递者为光子，光子不携带电荷，没有静质量，自旋为1（玻色子）。下面将简要介绍它。

2. 简要介绍

2.1 QCD量子色动力学简介

首先注意，在此部分中，“小长度”和“高能”表达的意思相同。

先简要介绍QCD的历史。夸克结构是由Gell-Mann命名[3]。三种色荷分别对应红色，绿色，蓝色。色力就是强相互作用，构成了强子内的强相互作用力。

Richard Feynmann 认为，高能物理实验表明夸克是真正的粒子，他称之为“部分子”(partons)。

Yang-Mills 提出的理论认为，传递力的粒子本身可以辐射更多传递力的粒子。这与QED完全不同。

后来，渐近自由的发现使得物理学家能够使用微扰理论的量子场论的方法，对许多高能物理实验的结果做出精确的预测。非微扰QCD的其它方面是探索夸克等物质的相(phase)，包括QGP。

然后下面简要介绍一下QCD的理论。强相互作用不区分不同夸克的味，因此QCD具有味对称性。但是实际上只是具有近似的味对称性，这是由不同夸克的质量不同所破坏的。

QCD是具有SU(3)对称性的规范理论。

夸克是大量的自旋为1/2的费米子，带有色荷和电荷，其规范是QCD的内容，由Dirac Fields代表。夸克携带电荷 $-1/3 e$ 或 $2/3 e$ ，它们携带包括重子数（其中每个夸克为 $1/3$ ），“超荷”(hypercharge)和味量子数在内的全部的量子数。每个夸克都有自己对应的反夸克。每个反夸克的电荷与相应的夸克完全相反。

胶子是自旋为1的无质量的玻色子，也携带色荷。但是它们没有电荷，不参与弱相互作用，也没有味。

三种“基本的”相互作用分别为：夸克发射（或吸收）胶子，胶子发射（或吸收）胶子，两个胶子直接相互作用。

QCD具有两个主要特性，下面将分别介绍。

2.2 渐近自由

渐近自由(asymptotic freedom)[7]是由 David J. Gross 和 H. David Politzer 和 Frank Wilczek 三位物理学家发现的，他们共同获得了2004年诺贝尔物理学奖。

渐近自由就是，在高能区域（或低长度尺度），夸克、胶子间的强相互作用较弱。能标无限高时，作用无限弱（趋于自由）。在QED中，也存在渐近发散——“朗道极点”(Landau pole)。[7]

真空中虚粒子的极化：在一个电荷周围，真空被“极化”，产生所谓的“屏蔽”效应。当另一个电荷逐渐靠近时，极化效应减弱，相互作用发散。

在QCD中，夸克也是屏蔽色荷的（屏蔽效应），而胶子却是增强色荷的（反屏蔽效应）。所以，夸克的屏蔽效应和胶子的反屏蔽效应，到底哪个更强？

标准的三色QCD理论告诉我们，只要夸克的“味”不多于16种，胶子的影响就胜过夸克。而实际上，夸克只有六种“味”。然而，随着距离越来越远，胶子的反屏蔽效应越来越弱。越来越弱的反屏蔽效应，就相当于屏蔽效应越来越强。

另一方面，“低能”和“大尺度”表达的意思相同，意味着不自由。

2.3 色禁闭

色禁闭(color confinement)：在 $< 2TK$ (Kelvin)，130—140MeV的常规情况下，夸克不能够被孤立开。

在QED中，两个电荷之间的作用随距离很快衰减。而在QCD中，由于胶子本身带有色荷，两个夸

克之间的作用不随距离衰减，即两种色荷在分开时保持恒力。胶子的作用可形象地视为“流管”(flux tube/string)。当距离增大到一定大小时，它从能量的角度上看更倾向于产生一对夸克——反夸克对，而不是继续延伸管。夸克和胶子必须凝聚在一起才能形成强子。其中，两种类型的强子，分别为介子和重子。如果原来的两个夸克构成的是一个介子，那么这一个介子就这样分裂成了两个介子(如图)。因此，当粒子加速器产生夸克时，科学家们看到许多色中性粒子(介子和重子)的“射流”聚集在一起，而不是看到检测器中的单个夸克。这个过程被称为强子化，碎片化或管分裂(string breaking)。

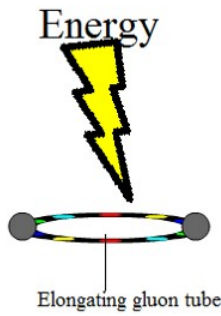


图 4. 当管拉伸到一定长度时，会分裂

3. 口袋模型

这里考虑几种不同的口袋模型(如图)。首先基于势阱考虑最简单(naïve)的口袋模型，然后考虑真空能——可伸缩的口袋模型，考虑相对论——Bogoliubov口袋模型，考虑真空能和相对论——MIT口袋模型。



图 5. 几种口袋模型

由于粒子(夸克, 胶子)不能跑出去, 可以将强子视为无限深的球方势阱, 粒子被困在里面。以介子为例, 口袋有一个夸克和一个反夸克。

如果口袋太大, 不确定关系表明动量就会小, 渐近自由表明相互作用就会大。如果口袋太小, 不

确定关系表明动量就会大, 从而能量就会大, 虽然这时渐近自由表明相互作用弱。所以应该会有一个最佳的口袋半径。在常规(低温、低密度)情况下, 口袋半径很小, 夸克之间渐近自由。

先从势阱开始说起。

3.1 一维无限深势阱

一维无限深势阱的推导如下[1]:

$$\frac{d^2}{dx^2}\psi + \frac{2mE}{\hbar^2}\psi = 0 \quad (0 < x < R) \quad (1)$$

解得

$$\psi(x) = A \sin(\sqrt{\frac{2mE}{\hbar^2}}x + \delta) \quad (2)$$

带入边界条件 $\psi(0) = \psi(R) = 0$, 得

$$\delta = 0, \quad E = E_n = \frac{n^2\pi^2\hbar^2}{2mR^2} \quad (3)$$

归一化系数为 $A_n = \sqrt{2/R}$, 因此解为

$$\psi_n(x) = \sqrt{\frac{2}{R}} \sin \frac{n\pi}{R}x \quad (4)$$

由此可知, 波函数 ψ 的振幅在整个势阱中保持恒定, 不衰减。

3.2 三维无限深球方势阱

三维无限深球方势阱的推导如下[1]:

$$\nabla^2\psi + \frac{2mE}{\hbar^2}\psi = 0 \quad (0 < r < R) \quad (5)$$

球坐标下的拉普拉斯算符

$$\nabla^2 = \frac{1}{r^2} \frac{\partial}{\partial r} r^2 \frac{\partial}{\partial r} - \frac{\hat{l}^2}{\hbar^2 r^2} \quad (6)$$

分离变量 $\psi(r, \theta, \phi) = R_l(r)Y_{lm}(\theta, \phi)$, 得径向方程

$$\frac{d^2}{dr^2}R_l + \frac{2}{r} \frac{d}{dr}R_l + \left(\frac{2mE}{\hbar^2} - \frac{l(l+1)}{r^2}\right)R_l = 0 \quad (7)$$

令 $\rho = \sqrt{\frac{2mE}{\hbar^2}}r$, 得球Bessel方程, $R_l \propto \frac{1}{\sqrt{\rho}}J_{l+1/2}(\rho)$

记 $R_l = C_{n,l}j_l(\rho)$ (这里 $j_l = J_{l+1/2}$)

边界条件 $j_l(\sqrt{\frac{2mE}{\hbar^2}}R) = 0$

设 $j_l(x) = 0$ 的第 n 个根为 x_{nl} , 解得

$$E_{n,l} = \frac{\hbar^2}{2mR^2}x_{n,l}^2, \quad R_{n,l}(r) = C_{n,l}j_l\left(\frac{x_{n,l}}{R}r\right) \quad (8)$$

归一化系数

$$C_{n,l} = \left(-\frac{2}{R^3}j_{l-1}\left(\frac{x_{n,l}}{R}r\right)j_{l+1}\left(\frac{x_{n,l}}{R}r\right)\right)^{1/2} \quad (9)$$

考虑 $l = 0$ 的特殊情况, $R_l \propto \frac{1}{r} \sin(\sqrt{\frac{2mE}{\hbar^2}} r)$
 边界条件化为 $\sqrt{\frac{2mE}{\hbar^2}} R = (n_r + 1)\pi$
 注意这里的 n_r 是从0开始的, 解得

$$E = E_{n_r,0} = \frac{\pi^2 \hbar^2 (n_r + 1)^2}{2mR^2},$$

$$R_{n_r,0}(r) = \sqrt{\frac{2}{R}} \frac{1}{r} \sin \frac{(n_r + 1)\pi}{R} r \quad (10)$$

考虑基态, 即 $n_r = l = 0$ 的特殊情况, 得

$$E = E_{00} = \frac{\pi^2 \hbar^2}{2mR^2}, \quad R_{00}(r) = \sqrt{\frac{2}{R}} \frac{1}{r} \sin \frac{\pi}{R} r \quad (11)$$

由此可知, 波函数 ψ 的振幅在 r 方向(径向)上有衰减。与一维情况不同。

3.3 最简单(Naïve)的口袋模型

把夸克之间的相互作用势近似估计为短程0长程 ∞ , 核子半径为 R 。此时3个夸克在口袋内没有相互作用, 3个夸克的波函数均为上式。

考虑基态, $Y_{00}(\theta, \phi) = \sqrt{\frac{1}{4\pi}}$, 于是

$$\psi(r, \theta, \phi) = \sqrt{\frac{1}{2\pi R}} \frac{1}{r} \sin \frac{\pi}{R} r, \quad E = \frac{\pi^2 \hbar^2}{2mR^2} \quad (12)$$

代入数据 $R \sim 1\text{fm}$, $m \sim 2.4\text{MeV}/c^2$, 得 $E \sim 0.5\text{TeV}$ 。显然, 这个值太大了, 而且在能量这么大的情况下, 相对论效应已经很明显了。所以我们应该考虑更好的模型。

3.4 可伸缩的口袋模型

3个夸克的动能之和为 $\frac{3\pi^2 \hbar^2}{2mR^2}$, 对口袋产生作用力 $-\frac{\partial}{\partial R} \frac{3\pi^2 \hbar^2}{2mR^2} = \frac{3\pi^2 \hbar^2}{mR^3}$, 使得口袋有向外扩展的趋势(以指向球心为正方向)。考虑可伸缩的口袋, 这时需要有外力和它平衡。[2] 使得口袋有向内收缩的趋势的外力有很多, 其中最主要的一项是真空能。为了计算方便, 这里只考虑真空能。

考虑真空能, $\frac{4\pi}{3} BR^3$, 对口袋的作用力为 $-\frac{\partial}{\partial R} \frac{4\pi}{3} BR^3 = -4\pi BR^2$ 。受力平衡时

$$\frac{3\pi^2 \hbar^2}{mR^3} - 4\pi BR^2 = 0 \quad (13)$$

解得

$$R = \left(\frac{3\pi \hbar^2}{4mB} \right)^{1/5} \quad (14)$$

由实验测量的宇宙学常数推出(注意这里是 B 的下限) $B \sim 10^{-9}\text{J}/\text{m}^3$, 得 $R = 1.44\mu\text{m}$

由QED/SED得出的理论值(注意这里是 B 的上限) $B \sim 10^{113}\text{J}/\text{m}^3$, 得 $R = 5.7 \times 10^{-31}\text{m}$

由于这里采用了比较早期的资料和参考文献, 当时没有给出精确的值, 只给了一个估计。所以这里也只估计了上限和下限。近期的文献已经计算出了较精确的值, 限于我们讨论的知识范围, 这里没有给出其计算。

这两个值的数量级和实际值差距都很大, 因为 B 的估计实在太粗略了, 相差120多个数量级, 当然, 实际值显然包含在这个区间内。

3.5 Bogoliubov 口袋模型

夸克的能量较大, 运动速度也较大。这里在最简单(Naïve)的口袋模型中考虑相对论效应, 就得到了Bogoliubov口袋模型。[6] 使用狄拉克方程。粒子质量为 m , 球形腔半径为 R , 势阱的能量为 $-V_s$:

$$(\vec{\alpha} \cdot \vec{p} + \beta(m - V_s))\psi = E\psi \quad (15)$$

我们设解的形式为:

$$\psi_\kappa^\mu = (g(r)\chi_\kappa^\mu, i f(r)\chi_{-\kappa}^\mu) \quad (16)$$

∇ 在球坐标中的表示为

$$\nabla = \hat{r} \frac{\partial}{\partial r} - i \frac{\vec{r}}{r} \times \vec{l} \quad (17)$$

分离变量后得到

$$(E + V_s - m)g = -\left(\frac{df}{dr} + \frac{f}{r}\right) + \kappa \frac{f}{r}$$

$$(E - V_s + m)f = \left(\frac{dg}{dr} + \frac{g}{r}\right) + \kappa \frac{g}{r} \quad (18)$$

特别地, 当 $r < R$ 时 $V_s = m$, 当 $r > R$ 时 $V_s = 0$, 并且 $\kappa = -1$ (由于这里是S-wave), 解得

$$g(r) = A \frac{\sin Er}{r} \quad (r < R)$$

$$g(r) = A \frac{\sin Er}{r} e^{-\sqrt{m^2 - E^2}(r-R)} \quad (r > R) \quad (19)$$

进一步地, 令 $m \rightarrow \infty$, $r = R^+/R^-$ 处导数的衔接条件为

$$j_0(ER) = j_1(ER) \quad (20)$$

$$j_0(x) = \frac{\sin x}{x}, j_1(x) = \frac{\sin x}{x^2} - \frac{\cos x}{x}$$

ER 满足解 $ER = 2.04, 5.40, \dots$, 对于量子数 n, κ , 我们标记 $E_{n,\kappa} = \omega_{n,\kappa}/R$, 最终得到解为($\kappa = -1$):

$$\psi_{n,-1}^\mu = \frac{N_{n,-1}}{\sqrt{4\pi}} [j_0(\omega_{n,-1}) \frac{r}{R}, i \vec{\sigma} \cdot \hat{r} j_1(\omega_{n,-1}) \frac{r}{R}] \chi_{-1}^\mu$$

$$N_{n,-1} = \frac{\omega_{n,-1}^3}{2R^3(\omega_{n,-1} - 1) \sin^2(\omega_{n,-1})} \quad (21)$$

对于最低能级 $ER = 2.04\hbar c$, 代入 $R = 1\text{fm}$, 估算得

$$E = \frac{2.04\hbar c}{R} = \frac{2.04 \times 1.06 \times 10^{-34} \text{J/s}}{1\text{fm}} = 405\text{MeV} \quad (22)$$

考虑了相对论之后, 能量 $\sim \frac{1}{R}$ 而不是 $\sim \frac{1}{R^2}$, 能量的估计值大幅降低。

3.6 MIT 口袋模型

对于Bogoliubov模型(三个夸克动能), 考虑可伸缩的口袋, 就得到了MIT模型。同样为了计算方便, 这里只考虑真空能。[4][5]总能量

$$E = 3 \frac{\omega_{1,-1}}{R} + \frac{4\pi}{3} B R^3 \quad (23)$$

受力平衡的时候 $\frac{\partial E}{\partial R} = 0$, 解得 $R = (\frac{3\omega_{1,-1}}{4\pi B})^{1/4}$
统一量纲, 代入 B 的下限值, 得

$$R = (\frac{3\hbar c \omega_{1,-1}}{4\pi B})^{1/4} = 62.7\mu\text{m} \quad (24)$$

这里的结果反而比“可伸缩的口袋模型”中的值更大了。若代入 B 的上限值, 得到的结果反而比“可伸缩的口袋模型”中的值更小了。这是因为 R 由 $R \propto B^{-1/5}$ 变成了 $R \propto B^{-1/4}$, 对于相同的 B 的估计范围, R 的范围变大了。显然, 实际值仍然包含在这个区间中。

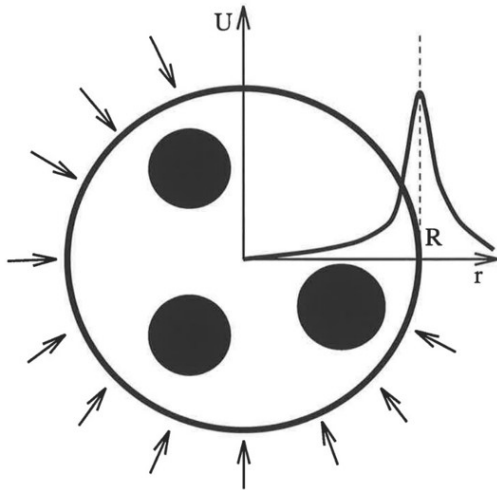


图 6. 口袋模型示意图

4. 结论

我们先简要介绍了夸克的基本知识以及QCD量子色动力学的背景知识和两个主要特性。然后根据三维球方势阱, 考虑了几种不同口袋模型, 并且分别用它们计算了核子的半径或夸克的能量。由于我们在外力的估算中只考虑了真空能, 且在真空能的数据中采用了比较早期的资料和参考文献, 因此没有给出精确的值, 只得出了一个非常粗略的估计。近期的文献已经有更好的方法来计算其精确值, 但是限于我们讨论的知识范围, 这里没有给出其计算结果。然而, 这些口袋模型仍然可以算是三维球方势阱的比较实际的应用。

致谢

感谢刘玉鑫院长给我们提供的参考文献, 以及量子讨论班的各位同学们的积极讨论。

参考文献

- [1] 曾谨言. 量子力学(卷一). 科学出版社, (2007).
- [2] 程檀生 钟毓澍. 低能及中高能原子核物理学. 北京大学出版社, (1997).
- [3] 卢希庭. 原子核物理(修订版). 原子能出版社, (2000).
- [4] Evgenii N.Rodionov. The mit bag model in nuclear and particle physics. *The University of Adelaide*, (1997).
- [5] R. L. Jaffe and F. E. Low. Connection between quark-model eigenstates and low-energy scattering. *Physical Review D*, 19(7):2105–2118, (1979).
- [6] Bag models. [https : //www.physi.uni-heidelberg.de/ fschney/2008SS.../Bagmodels.pdf](https://www.physi.uni-heidelberg.de/fschney/2008SS.../Bagmodels.pdf).
- [7] Wikipage. [https : //en.wikipedia.org/wiki/Quark](https://en.wikipedia.org/wiki/Quark)
[https : //en.wikipedia.org/wiki/Gluon](https://en.wikipedia.org/wiki/Gluon)
[https : //en.wikipedia.org/wiki/Asymptoticfreedom](https://en.wikipedia.org/wiki/Asymptoticfreedom)
[https : //en.wikipedia.org/wiki/Landaupole](https://en.wikipedia.org/wiki/Landaupole).